

# 偏微分方程数值解

中国科学技术大学 数学学院

张 梦 萍

办公室：东区-管理科学楼1227室  
0551-63601855; mpzhang@ustc.edu.cn

付 杨 鑫

(办公室：东区-管理科学楼1212室)

李 顺

(办公室：东区-管理科学楼1212室)

# 第一部分：一维线性偏微分方程初值问题的有限差分方法

## 第二章：模型方程—对流方程

本章以模型方程的初值问题为例，介绍有限差分方法的构造，及其基本概念、性质和理论

### 1 对流方程的初值问题

#### 1.1 相关回顾

##### 一、函数的Fourier级数的收敛性

**Theorem 1.1** 假设  $f \in C^1_{(-\infty, \infty)}$  是  $2\pi$  周期的周期函数，则  $f(x)$  可由如下Fourier级数表示： $f(x) = \frac{1}{\sqrt{2\pi}} \sum_{\omega=-\infty}^{\infty} \hat{f}(\omega) e^{i\omega x}$ 。  
其中，Fourier系数  $\hat{f}(\omega)$  为： $\hat{f}(\omega) = \frac{1}{\sqrt{2\pi}} \int_0^{2\pi} f(x) e^{-i\omega x} dx$ 。  
且该Fourier级数一致收敛性于  $f(x)$

**Theorem 1.2** 假设  $f$  是  $2\pi$  周期、分片  $C^1$  函数。若在  $a < x < b$  上  $f \in C^1_{(a,b)}$ ，则在  $(a,b)$  上的任意子区间  $a < \alpha \leq x \leq \beta < b$  上，其Fourier级数一致收敛性于  $f(x)$ 。在间断点  $x$  处，Fourier级数收敛性于  $\frac{1}{2}(f(x+0) + f(x-0))$

**Theorem 1.3** 若  $g(x)$  是  $2\pi$  周期函数，假设它的  $p$  阶导数是分片  $C^1$  函数，则其Fourier系数满足：

$$|\hat{g}(\omega)| \leq \text{constant}/(|\omega|^{p+1} + 1)$$

##### 二、函数的标量内积与 $L_2$ 模

- 函数  $f$  与  $g$  的内积:  $(f, g) = \int_0^{2\pi} \bar{f}(x)g(x)dx$ ,

- 函数  $f$  的  $L_2$  模:  $\|f\|_2 = (f, f)^{\frac{1}{2}} = (\int_0^{2\pi} \bar{f}(x)f(x)dx)^{\frac{1}{2}} = (\int_0^{2\pi} |f|^2 dx)^{\frac{1}{2}}$

- 序列  $\{f_\mu\}_{\mu=1}^\infty$  在平均意义下 ( $L_2$  模意义下) 收敛于  $f$ , 即:

$$\lim_{\mu \rightarrow \infty} \|f_\mu - f\| = 0$$

**Lemma 1.1** 指数函数  $\frac{1}{\sqrt{2\pi}}e^{inx}$ ,  $n = 0, \pm 1, \pm 2, \dots$  关于  $L_2$  标量内积是标准正交的, 即:

$$\left(\frac{1}{\sqrt{2\pi}}e^{inx}, \frac{1}{\sqrt{2\pi}}e^{imx}\right) = \begin{cases} 0 & \text{当 } m \neq n; \\ 1 & \text{当 } m = n \end{cases}$$

**Theorem 1.4** (*Bessel*不等式)

对所有的  $N$ , 有:  $\sum_{\omega=-N}^N |\hat{f}(\omega)|^2 \leq \|f\|^2$  (即*Bessel*不等式)。

此外, 当且仅当*Parseval*关系成立 (即:  $\sum_{\omega=-\infty}^\infty |\hat{f}(\omega)|^2 = \|f\|^2$ ) 时, 有:

$$\lim_{N \rightarrow \infty} \|f - S_N\|^2 = \lim_{N \rightarrow \infty} (\|f\|^2 - \sum_{\omega=-N}^N |\hat{f}(\omega)|^2) = 0;$$

其中  $S_N = \frac{1}{\sqrt{2\pi}} \sum_{\omega=-N}^N \hat{f}(\omega)e^{i\omega x}$ ,  $\hat{f}(\omega) = \frac{1}{\sqrt{2\pi}} \int_0^{2\pi} e^{-i\omega x} f(x)dx$ 。

**Theorem 1.5** 任意分片连续地函数  $f$  都能展开成在  $L_2$  模意义下收敛于  $f$  的*Fourier*级数, 即:  $f(x) = \frac{1}{\sqrt{2\pi}} \sum_{\omega=-\infty}^\infty \hat{f}(\omega)e^{i\omega x}$ ,  $\hat{f}(\omega) = \frac{1}{\sqrt{2\pi}} \int_0^{2\pi} e^{-i\omega x} f(x)dx = \frac{1}{\sqrt{2\pi}} (e^{-i\omega x}, f(x))$ ; 且*Parseval*关系成立。

### 三、三角插值

**Lemma 1.2** 指数函数  $e^{i\nu x}$ ,  $\nu = 0, \pm 1, \pm 2, \dots, \frac{N}{2}$  关于离散内积是正交的, 即:

$$(e^{i\nu x}, e^{i\mu x})_h = \begin{cases} 0, & 0 < |\nu - \mu| \leq N; \\ 2\pi, & \nu = \mu \end{cases}$$

**Theorem 1.6** 满足  $u_j = \phi(x_j)$ ,  $j = 0, 1, \dots, N$ , 的三角插值:

$$\phi(x) = \frac{1}{\sqrt{2\pi}} \sum_{\omega=-\frac{N}{2}}^{\frac{N}{2}} \tilde{u}(\omega) e^{i\omega x}$$

是唯一的。

**Theorem 1.7** 若  $\phi(x)$ 、 $\psi(x)$  分别满足:  $\phi(x_j) = u_j$ ,  $\psi(x_j) = v_j$ ,  $j = 0, 1, \dots, N$ , 的三角插值;  $\phi(x) = \frac{1}{\sqrt{2\pi}} \sum_{\omega=-\frac{N}{2}}^{\frac{N}{2}} \tilde{u}(\omega) e^{i\omega x}$ ,  $\psi(x) = \frac{1}{\sqrt{2\pi}} \sum_{\omega=-\frac{N}{2}}^{\frac{N}{2}} \tilde{v}(\omega) e^{i\omega x}$ ; 则有:

$$(1) (u, v)_h = \sum_{\omega=-\frac{N}{2}}^{\frac{N}{2}} \bar{\tilde{u}}(\omega) \tilde{v}(\omega) = (\phi, \psi)$$

$$(2) \|\phi\|^2 = \sum_{\omega=-\frac{N}{2}}^{\frac{N}{2}} |\tilde{u}(\omega)|^2 = \|u\|_h^2$$

$$(3) \|D_+^l u\|_h^2 \leq \|\frac{d^l}{dx^l} \phi\|^2 \leq (\frac{\pi}{2})^{2l} \|D_+^l u\|_h^2, \quad l = 0, 1, \dots。$$

#### 四、 $\hat{u}(\omega)$ 与 $\tilde{u}(\omega)$ 关系

**Theorem 1.8** 假设  $u$  是  $2\pi$  周期的周期函数, 其 Fourier 系数满足下列关系:  $|\hat{u}(\omega)| \leq \frac{c}{|\omega|^m}$ ,  $\omega \neq 0$ ,  $m > 1$ ; 则有:

$$\|u(\cdot) - \phi(\cdot)\|_\infty \leq \frac{2c}{\sqrt{2\pi}} (\frac{N}{2})^{1-m} (\frac{1}{m-1} + \frac{2(N+1)}{N} B_m),$$

$$\text{其中 } B_m = \sum_{j=1}^{\infty} (\frac{1}{2j-1})^m, \quad u(x) = \frac{1}{\sqrt{2\pi}} \sum_{\omega=-\infty}^{\infty} \hat{u}(\omega) e^{i\omega x},$$

$$\phi(x) = \frac{1}{\sqrt{2\pi}} \sum_{\omega=-\frac{N}{2}}^{\frac{N}{2}} \tilde{u}(\omega) e^{i\omega x}, \quad \|u(\cdot)\|_\infty = \sup_{0 \leq x \leq 2\pi} |u(x)|。$$

推论: 存在常数  $C_l$ , 使得:

$$\|\frac{d^l}{dx^l} u(x) - \frac{d^l}{dx^l} \phi(x)\|_\infty \leq C_l (\frac{N}{2})^{1+l-m}, \quad 1+l < m$$

## 1.2 对流方程的初值问题的解

考虑常系数的对流方程的初值问题：

$$\begin{cases} u_t = u_x & -\infty < x < \infty, t > 0 \\ u(x, 0) = f(x) & -\infty < x < \infty \end{cases} \quad (*)$$

其中  $f(x)$  是光滑的  $2\pi$  周期的周期函数

1. 初值是一个谐波，对流方程的初值问题(\*)的解
2. 一般情况的初值（如：初值为  $2\pi$  周期的光滑函数），对流方程的初值问题(\*)的解
3. 对流方程的初值问题(\*)解的特性  
 $\Rightarrow$ ：问题(\*)存在特征线，且特征线为直线，解沿特征线是不变的。  
 初值沿特征线以有限速度传播。

## 2 对流方程的初值问题的有限差分方法—二层格式

### 1. 剖分

由于本问题是  $2\pi$  周期的，所以将区域  $[0, 2\pi]$  用  $N + 1$  个节点  $x_j$  均匀剖分，即：  $x_j = j \cdot h$ ，  $j = 0, 1, \dots, J$ ；空间步长为：  $h = \frac{2\pi}{J}$ ；  
 时间离散：均匀剖分，取时间步长为  $\Delta t$ ，  $t_n = n \cdot \Delta t$ ，  $n = 0, 1, \dots, N$ 。

格点函数值：解  $u(x, t)$  在  $(x, t)$  平面上的格点  $P = (x_j, t_n)$  处的值记为：  $u_j^n = u(x_j, t_n)$ ；近似值记为：  $v_j^n \simeq u_j^n$ ；

由于  $u$  是  $2\pi$  周期的，所以  $v$  也是  $2\pi$  周期的；故有：  $v_j^n = v_{j+J}^n$

## 2. 方程离散—差商近似微商：

1阶导数  $\approx$  1阶差商（前差-F、后差-B、中心差-C）

FTCS 格式（有限差分方法、有限差分方程、离散方程）：

$$\begin{cases} v_j^{n+1} = v_j^n + \frac{\Delta t}{2h}(v_{j+1}^n - v_{j-1}^n) = (I + \Delta t D_0)v_j^n \equiv Qv_j^n \\ v_j^0 = f_j = f(x_j), \quad j = 0, \dots, J \end{cases} \quad (*1)$$

## 3. 差分方程(\*1)的解

a. 初值是一个谐波，(\*1)的近似解

b. 初值可以用一个三角插值表示，(\*1)的近似解

c. 讨论初值出现小扰动时，(\*1)的近似解的变化。

d. 稳定性

在实际计算中，误差是不可避免的。

**Definition 2.1**：考虑一种数值方法，若满足：

$\lim_{\Delta t, h \rightarrow 0} \sup_{0 \leq t_n \leq T} |\hat{Q}^n| \leq K(T)$ ，则称该方法是稳定的

e. FTCS格式的修正—加人工粘性

f. 二种常用的格式

Lax-Friedrich 格式：（取：  $\sigma = \frac{h}{2\Delta t} = \frac{1}{2\lambda}$ ，  $\lambda = \frac{\Delta t}{h}$ ）

$$v_j^{n+1} = \frac{1}{2}(v_{j-1}^n + v_{j+1}^n) + \Delta t D_0 v_j^n = (I + \Delta t D_0)v_j^n + \frac{h^2}{2} D_+ D_- v_j^n$$

2 对流方程的初值问题的有限差分方法——二层格式  
Lax-Wendroff格式：（取：  $\sigma = \frac{1}{2}\lambda = \frac{\Delta t}{2h}$ ）

$$v_j^{n+1} = v_j^n + \Delta t D_0 v_j^n + \frac{\Delta t^2}{2} D_+ D_- v_j^n$$

g. 考虑一般的差分近似（单步格式）

$$\begin{cases} v_j^{n+1} = Q v_j^n, & Q = \sum_{\mu=-r}^s A_\mu(\Delta t, h) E^\mu \\ v_j^0 = f_j \end{cases}$$

其中  $A_\mu$  是  $\Delta t, h$  的有理函数,  $r, s \geq 0$ , 且是整数;

即: 用  $r + s + 1$  个函数  $v_{j-r}^n, \dots, v_{j+s}^n$  计算  $v_j^{n+1}$ 。

**Theorem 2.1** 在有限时间区域  $0 \leq t \leq T$ , 考虑  $\Delta t, h \rightarrow 0$  时,  
差分近似:  $v_j^{n+1} = Q v_j^n$ ,  $Q = \sum_{\mu=-r}^s A_\mu(\Delta t, h) E^\mu$ ,  $v_j^0 = f_j$ , 假设:

- (a) 初值  $f$  是（分片连续）可展开为 *Fourier* 级数 ( $\in L_2$ ), 且其三角插值收敛于  $f$
- (b) 差分近似是稳定的, 即存在常数  $K_s$ , 使得对所有的  $\Delta t$  和  $h$  有:

$$\sup_{0 \leq t_n \leq T} |\hat{Q}^n| \leq K_s$$

- (c) 差分近似是相容的, 即对每个固定的  $\omega$ , 有:

$$\lim_{\Delta t, h \rightarrow 0} \sup_{0 \leq t_n \leq T} |\hat{Q}^n(\xi) - e^{i\omega t_n}| = 0$$

则: 差分近似解的三角插值收敛于微分方程的解, 即:

$$\lim_{\Delta t, h \rightarrow 0} \sup_{0 \leq t_n \leq T} \|u(\cdot, t_n) - \psi_N(\cdot)\| = 0$$

## 2 对流方程的初值问题的有限差分方法——二层格式

其中  $u(\cdot, t_n) = \frac{1}{\sqrt{2\pi}} \sum_{-\infty}^{\infty} e^{i\omega(x_j+t_n)} \hat{u}^n(\omega) = \frac{1}{\sqrt{2\pi}} \sum_{-\infty}^{\infty} e^{i\omega x_j} \hat{f}(\omega)$

，差分近似解的三角插值为：

$$\psi_N = \frac{1}{\sqrt{2\pi}} \sum_{-\frac{N}{2}}^{\frac{N}{2}} e^{i\omega x_j} \hat{\psi}^n(\omega) = \frac{1}{\sqrt{2\pi}} \sum_{-\frac{N}{2}}^{\frac{N}{2}} e^{i\omega x_j} \hat{Q}^n \hat{f}(\omega)。$$

证明：

由于初值  $f$  是（分片连续）可展开为Fourier级数（ $\in L_2$ ），

根据定理1.5，可见Parseval关系成立

$$\sum_{\omega=-\infty}^{\infty} |\hat{f}(\omega)|^2 = \|f\|^2$$

取  $M$ ，使得  $0 < M < \frac{N}{2}$ ，则：

$$\|u(\cdot, t_n) - \psi_N(\cdot)\|^2 = \sum_{\omega=-\frac{N}{2}}^{\frac{N}{2}} |e^{i\omega t_n} \hat{f}(\omega) - \hat{Q}^n \tilde{f}(\omega)|^2 + \sum_{|\omega| > \frac{N}{2}} |\hat{f}(\omega)|^2$$

$$\leq \sum_{\omega=-M}^M |e^{i\omega t_n} \hat{f}(\omega) - \hat{Q}^n \tilde{f}(\omega)|^2 + \sum_{M < |\omega| \leq \frac{N}{2}} |e^{i\omega t_n} \hat{f}(\omega) - \hat{Q}^n \tilde{f}(\omega)|^2 + \sum_{|\omega| > \frac{N}{2}} |\hat{f}(\omega)|^2$$

$$(|a - b|^2 \leq |a|^2 + |b|^2 = 2|a| \cdot |b| \leq 2(|a|^2 + |b|^2))$$

$$\leq I + 2 \sum_{M < |\omega| \leq \frac{N}{2}} |\hat{Q}^n \tilde{f}(\omega)|^2 + 2 \sum_{M < |\omega| \leq \frac{N}{2}} |\hat{f}|^2 + \sum_{|\omega| > \frac{N}{2}} |\hat{f}(\omega)|^2$$

$$\sum_{M < |\omega| \leq \frac{N}{2}} + \sum_{|\omega| > \frac{N}{2}} = \sum_{|\omega| > M}$$

$$= I + 2 \sum_{M < |\omega| \leq \frac{N}{2}} |\hat{Q}^n \tilde{f}(\omega)|^2 + \sum_{M < |\omega| \leq \frac{N}{2}} |\hat{f}|^2 + \sum_{|\omega| > M} |\hat{f}(\omega)|^2$$

$$\leq I + 2(\sum_{M < |\omega| \leq \frac{N}{2}} + \sum_{|\omega| > \frac{N}{2}}) |\hat{Q}^n \tilde{f}(\omega)|^2 + (\sum_{M < |\omega| \leq \frac{N}{2}} + \sum_{|\omega| > \frac{N}{2}}) |\hat{f}|^2 + \sum_{|\omega| > M} |\hat{f}(\omega)|^2$$

$$= I + 2 \sum_{M < |\omega|} |\hat{Q}^n \tilde{f}(\omega)|^2 + 2 \sum_{M < |\omega|} |\hat{f}|^2 = I + II + III$$



$$\begin{aligned} I &= \sum_{\omega=-M}^M |e^{i\omega t_n} \hat{f}(\omega) - \hat{Q}^n \tilde{f}(\omega) + \hat{Q}^n \hat{f}(\omega) - \hat{Q}^n \hat{f}(\omega)|^2 \\ &\leq 2 \sum_{\omega=-M}^M (|\hat{Q}^n(\tilde{f} - \hat{f})|^2 + |\hat{f}|^2 |\hat{Q}^n - e^{i\omega t_n}|^2) \end{aligned}$$

(由假设 (a) 和 (c) 可得: )

$$\begin{aligned} \lim_{M \rightarrow \infty} I &\leq 2 \lim_{M \rightarrow \infty} \sum_{\omega=-M}^M (|\hat{Q}^n(\tilde{f} - \hat{f})|^2 + |\hat{f}|^2 |\hat{Q}^n - e^{i\omega t_n}|^2) \\ &= 2 \lim_{M \rightarrow \infty} \sum_{\omega=-M}^M |\hat{Q}^n(\tilde{f} - \hat{f})|^2 + 2 \lim_{M \rightarrow \infty} \sum_{\omega=-M}^M |\hat{f}|^2 |\hat{Q}^n - e^{i\omega t_n}|^2 = 0 \end{aligned}$$

(由假设 (a) 可得: )

$$\lim_{M \rightarrow \infty} II = 2 \lim_{M \rightarrow \infty} \sum_{M < |\omega|} |\hat{f}|^2 = 0$$

(由假设 (b) 可得: )

$$\begin{aligned} \lim_{M \rightarrow \infty} III &= 2 \lim_{M \rightarrow \infty} \sum_{M < |\omega|} |\hat{Q}^n|^2 \cdot |\tilde{f}(\omega) - \hat{f} + \hat{f}|^2 \\ &\leq 4K_s^2 \lim_{M \rightarrow \infty} \sum_{M < |\omega|} (|\tilde{f} - \hat{f}|^2 + |\hat{f}|^2) \\ &= 4K_s^2 (\lim_{M \rightarrow \infty} \sum_{M < |\omega|} |\tilde{f} - \hat{f}|^2 + \lim_{M \rightarrow \infty} II) \\ &= 0。 \text{証毕} \end{aligned}$$

### 3 对流方程的初值问题的有限差分格式—多层格式

一、常系数对流方程的初值问题的常见的有限差分格式：

考虑常系数的对流方程的初值问题：

$$\begin{cases} u_t = u_x & -\infty < x < \infty, t > 0 \\ u(x, 0) = f(x) & -\infty < x < \infty \end{cases}$$

其中  $f(x)$  是  $2\pi$  周期的周期函数。

1. 显示格式：由已知层的函数值直接得到未知层的函数值
2. 隐式格式：不能由已知层的函数值直接得到未知层的函数值
3. 单步格式（二层格式）：格式只涉及二个时间层
4. 多步格式（三层、及三层以上格式）格式：涉及三个，或三个以上时间层

二、蛙跳格式（即：CTCS格式）

$$\begin{cases} v_j^{n+1} = v_j^{n-1} + \frac{\Delta t}{h}(v_{j+1}^n - v_{j-1}^n) \\ v_j^0 = f_j = f(x_j) \end{cases}。$$

这儿  $v_j^1$  需要通过其它单步格式得到，如FTCS格式，即： $v_j^1 = v_j^0 + \frac{\Delta t}{2h}(v_{j+1}^0 - v_{j-1}^0)$ ， $v_j^0 = f_j$ 。

三、带源项的PDE初值问题  $\begin{cases} u_t = u_x - au & -\infty < x < \infty, t > 0 \\ u(x, 0) = f(x) & -\infty < x < \infty \end{cases}$  的蛙跳格式

3 对流方程的初值问题的有限差分格式—多层格式  
这儿  $a > 0$ ，且为常数。

作业-20240923：参考书1：P50：2.1.1–2.1.3

大作业-20240923 针对下述偏微分方程初值问题：

$$\begin{cases} u_t = u_x, & -\infty < x < \infty, t > 0, \\ u(x, 0) = \sin(2\pi x), & -\infty < x < \infty, \\ \text{Periodic boundary condition, } T = 1. \end{cases}$$

该方程的精确解为  $u(x, t) = \sin(2\pi(x + t))$ 。

对时空区域做均匀剖分，其中  $x_j = j \cdot h$ ,  $j = 0, 1, 2, \dots, J$ ，时间步长  $h = \frac{1}{J}$ 。令  $r = \frac{\Delta t}{h}$ 。

**问题1：**取  $r = 0.5$ ， $J = 80$ ，分别取  $T = 0.1, 0.4, 0.8, 1.0$ 。分别用FTCS、Lax-Friedrich和Lax-Wendroff方法计算其数值解。绘出最大误差随时间变化图；并给出评论。

**问题2：**取  $r = 0.5$ ， $T = 1.0$ ，分别取  $J = 10, 20, 40, 80, 160$ 。用Lax-Wendroff方法计算其数值解，并与精确解画在同一图上进行比较，给出评论。

## 4 迎风格式与CFL条件

考虑常系数的对流方程的初值问题：

$$\begin{cases} u_t = u_x & -\infty < x < \infty, t > 0 \\ u(x, 0) = f(x) & -\infty < x < \infty \end{cases}; \text{ 其解为 } u(x, t) = f(x + t)。$$

一、  $u_t = u_x$  的FTBS格式

$$\begin{cases} v_j^{n+1} = v_j^n + \frac{\Delta t}{2h}(v_j^n - v_{j-1}^n) = (I + \Delta t D_-)v_j^n \equiv Qv_j^n \\ v_j^0 = f_j = f(x_j), \quad j = 0, \dots, J \end{cases}$$

该格式无法满足稳定性要求；即：该方法是不稳定的

$u_t = u_x$  的FTBS格式不稳定的原因何在？如何构造稳定的格式？

二、 常系数对流方程初值问题的解的依赖区

沿直线  $x + t = \text{constant}$  解不变。该直线称为特征线。在任意点  $P = (x, t)$  处的解，由过该点的特征线与  $t = 0$  的交点  $P_0 = (x_0, 0)$  点的值  $u|_{P_0}$  确定，即：  $u|_P = u|_{P_0}$ 。

$D_P = \{P_0\}$  称为  $P$  点的解的依赖区。若取  $P = (x_j, t_{n+1})$ ，则  $x_0 = x_j + t_{n+1}$ 。

三、 常系数对流方程的初值问题的有限差分格式的数值解的依赖区：

常系数对流方程初值问题的FTCS格式在  $P = (x_j, t_{n+1})$  点的近似解  $v_j^{n+1}$  依赖于初始时刻的点：

$x_{j-n-1}, x_{j-n}, \dots, x_j, \dots, x_{j+n}, x_{j+n+1}$  的近似解。

则称  $N_P = \{x_{j-n-1}, x_{j-n}, \dots, x_j, \dots, x_{j+n}, x_{j+n+1}\}$  为  $P$  点数值解的依赖区；

四、 CFL条件

CFL条件：PDE解的依赖区  $D_P$  必须被包含在数值解的依赖

区  $N_P$ :  $D_P \subseteq N_P$

**Theorem 4.1** CFL条件是有限差分格式收敛的必要条件

CFL条件适合于变系数情形，甚至是非线性双曲问题；它是这些格式收敛的必要条件！

## 五、迎风格式

迎风格式：特征线方向与模板方向一致的格式；逆风格式：特征线方向与模板方向不一致的格式

**Example 4.1** 讨论  $u_t + au_x = 0$ ， $a$  是常数，的迎风格式

**作业-20240926**：针对方程  $u_t + u_x = 0$ ，导出其解的依赖区；其蛙跳格式的数值解的依赖区；以及CFL条件

## 大作业-20240926

针对下述偏微分方程初值问题：

$$\begin{cases} u_t = u_x, & -\infty < x < \infty, t > 0, \\ u(x, 0) = \sin(2\pi x), & -\infty < x < \infty, \\ \text{Periodic boundary condition, } T = 1. \end{cases} \quad (1)$$

该方程的精确解为  $u(x, t) = \sin(2\pi(x + t))$ 。对时空区域做均匀剖分，其中  $x_j = j \cdot h$ ， $j = 0, 1, 2, \dots, J$ ，时间步长  $h = \frac{1}{J}$ 。令  $\lambda = \frac{\Delta t}{h}$ 。

#### 4 迎风格式与CFL条件

**问题：** 取  $T = 1.0$ ,  $J = 80$ , 分别取  $\lambda = 0.5, 1.5$ 。用CTCS格式 ( $v_j^1$  用FTFS格式) 计算其数值解, 并与精确解画在同一图上进行比较, 给出评论。

## 5 隐式格式

### 一、BTCS格式

讨论  $\begin{cases} u_t = u_x & -\infty < x < \infty, t > 0 \\ u(x, 0) = f(x) & -\infty < x < \infty \end{cases}$  的BTCS格式；其中该问题的初值、解均为  $2\pi$  周期的周期函数。

BTCS格式： $\begin{cases} v_j^{n+1} = v_j^n + \frac{\Delta t}{2h}(v_{j+1}^{n+1} - v_{j-1}^{n+1}) \\ v_j^0 = f(x_j), j = 0, 1, \dots, J, v_J^n = v_{J+1}^n \end{cases} \Rightarrow$  要得到问题的解，则需要在每个时间步求解一个  $J+1$  阶线性代数方程组。

$\Rightarrow$ ：该格式是无条件稳定的——这是一个典型的隐式格式；对时间步长没有约束，可以选择较大的时间步长。大多数全隐式格式都是无条件稳定的

### 二、Crank-Nicolson格式

$$u_t = u_x = \frac{1}{2}u_x + \frac{1}{2}u_x,$$

$$(I - \frac{\Delta t}{2}D_0)v_j^{n+1} = (I + \frac{\Delta t}{2}D_0)v_j^n, \quad j = 0, \dots, J$$

$\Rightarrow$ ：该格式是无条件稳定的，且对所有的  $\omega$ （频率），振幅不变。

### 三、 $\theta$ -方法

$$u_t = u_x = \theta u_x + (1 - \theta)u_x,$$

$$(I - \Delta t \theta D_0)v_j^{n+1} = (I + \Delta t(1 - \theta)D_0)v_j^n, \quad j = 0, \dots, J, \quad \text{其中 } 0 \leq \theta \leq 1.$$

$\Rightarrow$ ： $\theta \geq \frac{1}{2}$  时，该格式是无条件稳定的。通常取： $\frac{1}{2} \leq \theta \leq 1$ 。

## 6 误差

预备知识——Taylor展开定理：

$$f(x \pm h) = f(x) \pm hf'(x) + \frac{h^2}{2!}f''(x) + \cdots + \frac{(-h)^k}{k!}f^{(k)}(x) + \frac{(-h)^{k+1}}{(k+1)!}f^{(k+1)}(\xi)$$

，其中： $\xi$  介于  $x$  与  $x+h$  之间。

### 一、截断误差

**Definition 6.1** 截断误差：

与差分方程等价的PDE与源PDE的差。即：差分方程中近似解  $v_j^n$  用精确解  $u_j^n$  代替后得到的与差分方程等价的PDE与源PDE的差。

$\Rightarrow$ ：截断误差是数值方法精度的度量。

### 二、格式（方法）的精度

**Definition 6.2** 数值格式的精度：

若数值格式的截断误差为： $T = O(h^p + \Delta t^q)$ ，则称该数值格式是  $(p, q)$  阶精度的；即：该格式对空间是  $p$  阶精度，对时间是  $q$  阶精度。

### 三、整体误差

整体误差：数值解与精确解之间的差，即： $e_j^n = v_j^n - u_j^n$

作业-20240930：参考书1：P58, 2.3.1；P61：2.4.1-2.4.2



## 7 基于PDE的积分形式的有限差分格式的构造

### 常见的数值积分公式（回顾）

- 端点均为积分节点

$n = 1$  （梯形公式）：

$$\int_{x_0}^{x_1} f(x) = \frac{h}{2}(f(x_0) + f(x_1)) - \frac{h^3}{12}f''(\xi), \quad h = x_1 - x_0, \quad \xi \in (x_0, x_1)$$

$n = 2$  （Simpson公式）：

$$\int_{x_0}^{x_2} f(x) = \frac{h}{3}(f(x_0) + 4f(x_1) + f(x_2)) - \frac{h^5}{90}f^{(4)}(\xi),$$

$$h = x_2 - x_1 = x_1 - x_0, \quad \xi \in (x_0, x_2)$$

- 端点均不为积分节点

$n = 0$  （中点公式）：

$$\int_{x_{-1}}^{x_1} f(x) = 2hf(x_0) + \frac{h^3}{3}f''(\xi), \quad h = x_1 - x_0 = x_0 - x_{-1}, \quad \xi \in (x_{-1}, x_1)$$

$n = 1$ ：

$$\int_{x_{-1}}^{x_2} f(x) = \frac{3h}{2}(f(x_0) + f(x_1)) + \frac{3h^3}{4}f''(\xi),$$

$$h = x_2 - x_1 = x_1 - x_0 = x_0 - x_{-1}, \quad \xi \in (x_{-1}, x_2)$$

- 积分节点仅为一个端点

$$\int_a^b f(x) = (b-a)f(a) + \frac{1}{4}(b-a)^2 f'(\xi), \quad \xi \in (a, b)$$

针对  $u_t + au_x = 0$ ， $a$  为常数， $(x, t) \in \bar{D} = [0, 1] \times [0, T]$ ，基于其积分形式，构造以格点处的函数为未知数的有限差分格式。

### 一、剖分

用节点  $0 = x_0 < x_1 < \cdots < x_J = 1$  将  $[0, 1]$  分成  $J$  个小区间(cell)；

则涉及格点  $x_j$  的cell为： $I_j = [x_{j-\frac{1}{2}}, x_{j+\frac{1}{2}}]$ ， $j = 1, \cdots, J-1$ 。

## 7 基于PDE的积分形式的有限差分格式的构造

用节点  $0 = t_0 < t_1 < \cdots < t_N = T$  将  $[0, T]$  分成  $N$  个小区域  $[t_n, t_{n+1}]$ ,  $n = 0, \cdots, N-1$ 。

## 二、方程离散

取时空区域  $\Omega_j^n = [t_n, t_{n+1}] \times [x_{j-\frac{1}{2}}, x_{j+\frac{1}{2}}]$  为控制区域（控制体）。

讨论控制体  $\Omega_j^n$  上,  $u_t + au_x = 0$  的积分形式:

$$\int_{x_{j-\frac{1}{2}}}^{x_{j+\frac{1}{2}}} (u^{n+1} - u^n) dx + \int_{t_n}^{t_{n+1}} a(u_{j+\frac{1}{2}} - u_{j-\frac{1}{2}}) dt = 0$$

该方程式是精确成立的。用不同的数值积分公式对上述方程中的积分做近似, 得到不同的有限差分格式

取时空区域  $\Omega_j^n = [t_{n-1}, t_{n+1}] \times [x_{j-\frac{1}{2}}, x_{j+\frac{1}{2}}]$  为控制区域（控制体）。

讨论控制体  $\Omega_j^n$  上,  $u_t + au_x = 0$  的积分形式:

$$\int_{x_{j-\frac{1}{2}}}^{x_{j+\frac{1}{2}}} (u^{n+1} - u^{n-1}) dx + \int_{t_n}^{t_{n+1}} a(u_{j+\frac{1}{2}} - u_{j-\frac{1}{2}}) dt = 0$$

该方程式精确成立的。用不同的数值积分公式对上述方程中的积分做近似, 得到不同的有限差分格式

## 8 变系数对流方程

$$u_t + a(x, t) \cdot u_x = 0, \quad (x, t) \in \mathbb{R} \times \mathbb{R}^+$$

。其中  $a(x, t)$  为已知的连续函数。其初值问题的解稳定、存在唯一。

特征线方程：

$$\frac{dx}{dt} = a(x, t), \quad \Rightarrow \quad \frac{d}{dt}u(x(t), t) = 0.$$

特征线为互不相交的曲线，解  $u(x, t)$  沿着特征线保持不变

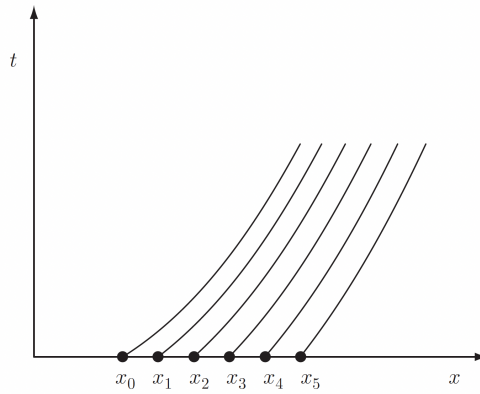


Fig. 4.1. Typical characteristics for  $u_t + a(x, t)u_x = 0$ .

可以将常系数对流方程的FDM推广到变系数方程

- Lax-Friedrichs格式

$$v_j^{n+1} = \frac{1}{2}(v_{j-1}^n + v_{j+1}^n) - \frac{1}{2}ra_j^n(v_{j+1}^n - v_{j-1}^n)$$

$$\text{或: } v_j^{n+1} = \frac{1}{2}(1 + a_j^n r)v_{j-1}^n + \frac{1}{2}(1 - a_j^n r)v_{j+1}^n$$

具有  $(2, 1)$  阶局部截断误差。

由于  $a_j^n = a(x_j, t_n)$  随  $j, n$  改变，所以不能直接用Fourier方法分析其稳定性。可采用能量法分析其稳定性。

若  $|\frac{\partial a}{\partial x}| \leq M, x \in \mathbf{R}, t \in [0, T] \Rightarrow: |a_{j+1}^n - a_{j-1}^n| \leq 2Mh$  (中值定理), 则有:

$$\|v^{n+1}\|_h^2 \leq (1 + M\Delta t)\|v^n\|_h^2 \leq \dots \leq e^{MT}\|v^0\|_h^2 = e^{MT}\|u^0\|_h^2$$

此时, 格式稳定

对变系数线性对流方程的有限差分方法, 除用能量法分析稳定性外, 简单实用的“冻结系数法”也是分析其稳定性的常用方法。

- 迎风格式

$$v_j^{n+1} = v_j^n - \frac{a_j^n r}{2}(v_{j+1}^n - v_{j-1}^n) + \frac{|a_j^n| r}{2}(v_{j+1}^n - 2v_j^n + v_{j-1}^n)$$

具有 (1, 1) 阶局部截断误差。用“冻结系数法”可得其稳定性条件为:  $\max_j |a_j^n| r \leq 1$

## 9 一阶线性偏微分方程组

### 9.1 常系数一阶线性偏微分方程组

考虑常系数一阶偏微分方程组：

$$U_t + A \cdot U_x = 0 \quad (*)$$

其中  $U = U(x, t) = (u^{(1)}, \dots, u^{(p)})^T$ ,  $A \in \mathbb{R}^{p \times p}$  为常系数矩阵

一、Lax-Friedrichs格式

$$V_j^{n+1} = \frac{1}{2}(V_{j-1}^n + V_{j+1}^n) - \frac{\Delta t}{2h}A(V_{j+1}^n - V_{j-1}^n)$$

稳定性分析：

取谐波解：  $V_j^n = \hat{V}^n e^{i\omega jh}$  代入上式，得：  $\hat{V}^{n+1} = \hat{G} \cdot \hat{V}^n = \dots = \hat{G}^n \cdot \hat{V}^0$ ；其中增长矩阵（放大因子）为：

$$\hat{G} = \frac{1}{2}(e^{i\omega h} + e^{-i\omega h})I - \frac{\Delta t}{2h}(e^{i\omega h} - e^{-i\omega h})A = (\cos \omega h)I - i(r \sin \omega h)A$$

其中  $I$  为  $p$  阶单位矩阵。若  $A$  的特征值为  $\lambda_m$ ，则  $G$  的特征值为： $\mu_m = \cos \omega h - i(r \sin \omega h)\lambda_m$ ,  $m = 1, \dots, p$ ；即： $|\mu_m|^2 = 1 - (1 - r^2 \lambda_m^2)(\sin \omega h)^2$

$\Rightarrow$ ：若  $r\rho(A) \leq 1$ ；则有  $\rho(\hat{G}) \leq 1$ ；即该方法稳定。其中  $\rho(\hat{G})$ ,  $\rho(A)$  分别是矩阵  $\hat{G}$ ,  $A$  的谱半径

Lax-Wendroff格式：

$$V_j^{n+1} = V_j^n - \frac{\Delta t}{2h}A(V_{j+1}^n - V_{j-1}^n) + \frac{\Delta t^2}{2h^2}A(V_{j+1}^n - 2V_j^n + V_{j-1}^n)$$

类似上述分析，可得到相同的稳定性条件

## 二、迎风格式

**Definition 9.1** 若  $A$  的特征值是实的, 且存在非奇异矩阵  $S$  使得  $\Lambda = S^{-1}AS = \text{diag}\{\lambda_1, \dots, \lambda_p\}$ , 其中  $\lambda_j, j = 1, \dots, p$  为  $A$  的特征值, 则称  $(*)$  为双曲型方程组。若除此之外,  $A$  的特征值互不相等, 则称  $(*)$  为严格双曲型方程组

假设  $(*)$  为双曲型方程组, 取  $W = S^{-1}U = (w^{(1)}, \dots, w^{(p)})^T$ , 则由  $(*)$  可得:

$$W_t + \Lambda \cdot W_x = 0 \quad (*1)$$

$(*1)$  称为  $(*)$  的特征形式。其分量形式为:

$$w_t^{(m)} + \Lambda_m \cdot w_x^{(m)} = 0, m = 1, \dots, p \quad (*2)$$

对每个  $m$ , 按标量对流方程设计迎风格式, 即:

$$(w^{(m)})_j^{n+1} = (w^{(m)})_j^n - \frac{r}{2}\Lambda((w^{(m)})_{j+1}^n - (w^{(m)})_{j-1}^n) + \frac{r}{2}|\Lambda|((w^{(m)})_{j+1}^n - 2(w^{(m)})_j^n + (w^{(m)})_{j-1}^n)$$

其中  $|\Lambda| = \text{diag}\{|\lambda_1|, \dots, |\lambda_p|\}$ ; 即:

$$W_j^{n+1} = W_j^n - \frac{r}{2}\Lambda(W_{j+1}^n - W_{j-1}^n) + \frac{r}{2}|\Lambda|(W_{j+1}^n - 2W_j^n + W_{j-1}^n)$$

; 或:

$$V_j^{n+1} = V_j^n - \frac{r}{2}A(V_{j+1}^n - V_{j-1}^n) + \frac{r}{2}|A|(V_{j+1}^n - 2V_j^n + V_{j-1}^n)$$

其中  $|A| = S^{-1}|\Lambda|S$ 。

稳定性分析:

增长矩阵:  $\hat{G} = I - i(r \sin \omega h)\Lambda + r(\cos \omega h - 1)|\Lambda|$ , 其特征值为:

$$\mu_m = 1 - i(r \sin \omega h)\lambda_m + r|\lambda_m|(\cos \omega h - 1), m = 1, \dots, p; \text{ 即: } |\mu_m|^2 =$$

$$1 - 4r|\lambda_m|(1 - r|\lambda_m|)(\sin \frac{\omega h}{2})^2$$

$\Rightarrow$  : 若  $r \max |\lambda_m| \leq 1$  ; 则有  $\rho(\hat{G}) \leq 1$  ; 即该方法稳定。

### 作业-20241010:

补充作业1: 针对  $u_t + au_x = 0$ ,  $a$  为常数, 基于其积分形式构造时间1阶、空间3阶的有限差分格式

补充作业2: 试构造:  $U_t + A \cdot U_x = 0$  的迎风格式; 其中  $U = (u, v)^T$ ,

$$A = \begin{pmatrix} 0 & -1 \\ -1 & 0 \end{pmatrix}$$